

$\Delta E-E$ -ДЕТЕКТОР ДЛЯ РЕГИСТРАЦИИ ПРОТОНОВ В РЕАКЦИИ БЕЗМЕЗОННОГО РАЗВАЛА ДЕЙТРОНА НА ВНУТРЕННЕЙ МИШЕНИ НУКЛОТРОНА-М

*С. М. Пиядин^{а,1}, Т. А. Васильев^а, Ю. В. Гурчин^а, А. Ю. Исупов^а,
Ю.-Т. Карачук^{а,б}, В. А. Краснов^а, А. К. Курилкин^а, П. К. Курилкин^а,
В. П. Ладыгин^а, А. Н. Ливанов^а, Г. Мартинска^в, С. Г. Резников^а,
А. К. Семенов^з, А. Е. Туманов^з, А. Н. Хренов^а, М. Янек^{а,д}*

^а Объединенный институт ядерных исследований, Дубна

^б Исследовательский институт электротехники, Бухарест

^в Университет П. Й. Шафарика, Кошице, Словакия

^з Московский государственный институт радиотехники, электроники и автоматики, Москва

^д Физический факультет, Университет г. Жилина, Жилина, Словакия

Представлена конструкция $\Delta E-E$ -детектора для изучения реакции развала дейтрона на внутренней мишени нуклотрона-М в интервале энергии дейтрона 300–500 МэВ. Кратко описана система высоковольтного питания ФЭУ-63 на базе модуля Wenzel Elektronik, управляемого от компьютера. Рассматривается светодиодная система мониторинга работы $\Delta E-E$ -детектора. Представлены результаты тестирования $\Delta E-E$ -детектора как на космических мюонах, так и на пучках дейтронов нуклотрона.

The design of $\Delta E-E$ detector for study of the deuteron breakup reaction at the internal target at Nuclotron-M in the deuteron energy interval 300–500 MeV is presented. The high voltage power system for PMTs-63 that is managed by Wenzel Elektronik module with the computer control is shortly described. The light-emitting diode monitoring of the $\Delta E-E$ detector's work is considered. The results of the $\Delta E-E$ detector tests with cosmic muons and deuterons at Nuclotron are presented.

PACS: 29.20.dk; 29.40.Mc; 25.45.-z; 25.30.Mr

ВВЕДЕНИЕ

Главная цель проекта DSS (Deuteron Spin Structure) — расширение энергетического и углового диапазонов в измерениях различных наблюдаемых для процессов, включающих трехнуклонные системы. Целью экспериментальной программы проекта DSS является получение информации о спинзависимой части трехнуклонных сил из двух процессов: dp -упругого рассеяния и dp -развала с регистрацией двух протонов при промежуточных и высоких энергиях.

¹E-mail: piyadin@jinr.ru

Экспериментальные данные по дифференциальному сечению и дейтронным анализирующим способностям для широкого диапазона фазового пространства были получены при энергии 130 МэВ в KVI [1]. Результаты показывают чувствительность поперечного сечения к спиновой структуре трехнуклонных сил. Теоретические расчеты для реакции безмезонного развала дейтрона, выполненные при энергии 400 МэВ [2], предсказывают, что дифференциальное сечение и тензорная анализирующая способность для различных кинетических конфигураций также чувствительны к вкладу трехнуклонных сил.

Целью данной работы была разработка ΔE - E -детектора на основе пластических сцинтилляторов и ФЭУ для изучения реакции развала дейтрона с энергией до 500 МэВ. В работе приведены конструкция детектора, схема делителя напряжения для ФЭУ-63, а также результаты тестирования детекторов на космических мюонах и пучке.

1. СЦИНТИЛЛЯЦИОННЫЙ ΔE - E -ДЕТЕКТОР

Для изучения реакции развала дейтрона с регистрацией двух протонов будут использоваться восемь детекторов ΔE - E -типа. Схематический вид детектора приведен на рис. 1, б.

Детектор ΔE - E состоит из двух сцинтилляторов ΔE и E . Первый имеет цилиндрическую форму с высотой 10 мм и диаметром 80 мм. Данный сцинтиллятор просматривается двумя ФЭУ-85, расположенными друг напротив друга. Для увеличения площади соприкосновения фотокатода каждого из ФЭУ-85 на сцинтилляторе были сделаны проточки, которые потом были отполированы (рис. 1, а). ΔE -сцинтиллятор покрыт белой бумагой. E -сцинтиллятор также имеет цилиндрическую форму высотой 200 мм и диаметром 100 мм. В качестве светоприемника для E -сцинтиллятора был использован ФЭУ-63, обладающий необходимым для эксперимента размером фотокатода (100 мм) и хорошими временными и амплитудными свойствами. E -сцинтиллятор также был обернут белой бумагой. Торцевая часть сцинтиллятора, примыкающая к ΔE -сцинтиллятору, была покрыта черной бумагой, чтобы исключить возможность попадания света от одного сцинтиллятора к другому.

Все элементы представленного счетчика расположены в светонепроницаемом металлическом кожухе. Все ФЭУ и делители установлены на пружинах, что позволяет достичь хорошего контакта ФЭУ со сцинтилляторами.

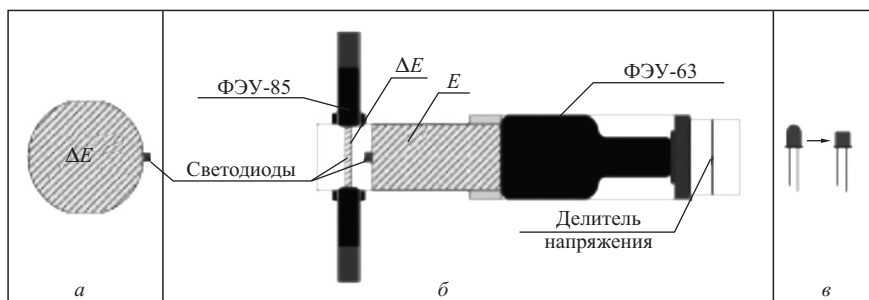


Рис. 1. а) Вид пластического сцинтиллятора ΔE -детектора. б) Общий вид ΔE - E -детектора для изучения реакции dp -развала. в) Модификация светодиода

Для достижения надежной корреляции амплитуд ΔE - и E -детекторов необходимо обеспечить стабильность коэффициента усиления ФЭУ и исключить влияние шумов, возникающих в умножителе [3, 4].

2. ДЕЛИТЕЛЬ НАПРЯЖЕНИЯ ДЛЯ ФЭУ-63

Для эффективной регистрации сигналов с фотоэлектронного умножителя необходимо обеспечить высокую стабильность напряжений питания катода и динодов ФЭУ. Обычно в схемах питания применяются делители на линейных резисторах или нелинейных элементах (стабилитронах или транзисторах). В случае использования линейных резисторов средняя частота повторения выходных импульсов ограничивается величиной среднего тока динодов на уровне 30–40 от тока делителя [3, 5].

Недостатками использования нелинейных элементов является необходимость подбора стабилитронов, а также непропорциональность изменения междинодных потенциалов при регулировке напряжения питания [6]. Кроме этого, если необходимо использовать несколько счетчиков, приходится либо подбирать ФЭУ с одинаковыми режимами, либо ставить их в неоптимальные режимы питания.

Для удобства работы с детекторами ΔE – E использовался резистивный делитель напряжения ФЭУ-63 без подпитки последних каскадов, приведенный на рис. 2.

300-кОм резистор в цепи катода ФЭУ-63 «гасит» возникающие иногда импульсы большой амплитуды, которые могут вывести из строя входную цепь формирователя. Наличие трех фокусирующих электродов у ФЭУ-63 позволило вывести средний из них на седьмой динод. При увеличении потенциала относительно катода увеличивалась вероятность возникновения генерации ФЭУ.

Резисторы на последних динодах демпфируют паразитные колебательные контуры (улучшают форму импульса). Конденсаторы между последними динодами, используемые в данном делителе, служат только для улучшения формы импульса. Резистор номиналом 1 кОм между анодом и землей предназначен для защиты входной цепи формирователя. Светодиод информирует о наличии тока в делителе.

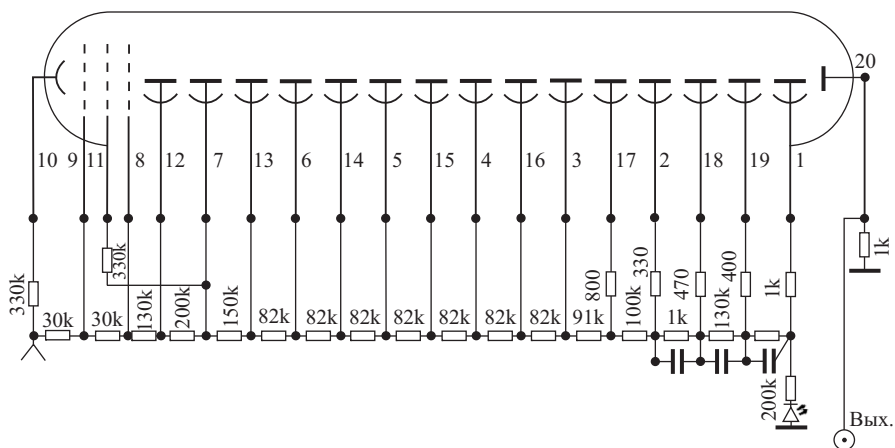


Рис. 2. Делитель ФЭУ-63

3. СИСТЕМА ВЫСОКОВОЛЬТНОГО НАПРЯЖЕНИЯ ДЛЯ ФЭУ

Управление высоковольтным напряжением цифровых делителей ФЭУ-85 осуществляется с помощью модуля, соединенного с компьютером через шину RS232. Этот модуль был разработан в ЛФВЭ ОИЯИ [7]. Система высоковольтного питания ФЭУ-63 основана на модуле Wenzel Electronik, напряжение которого управляется и контролируется с помощью ЦАП и двух АЦП-модулей КАМАК [8] (рис. 3). Использование двух модулей АЦП позволило контролировать как напряжение, так и ток, проходящий через делитель ФЭУ-63. Для управления и контроля высоким напряжением модуля Wenzel Electronik в режиме on-line был использован пакет MIDAS [9].

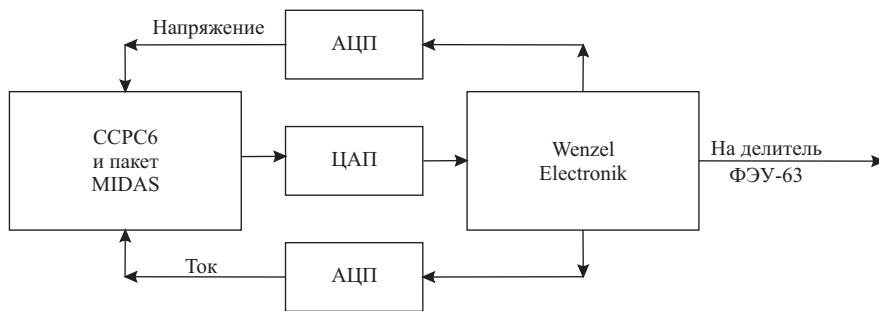


Рис. 3. Блок-схема системы высоковольтного питания ФЭУ-63 на базе модулей «Wenzel Electronik»: ЦАП — 8-канальный 12-разрядный цифроаналоговый преобразователь (8DAC-12). АЦП — 8-канальный 14-разрядный аналого-цифровой преобразователь (8ADC-14)

4. СВЕТОДИОДНАЯ СИСТЕМА $\Delta E-E$ -ДЕТЕКТОРА

Для мониторинга работы $\Delta E-E$ -детектора в конструкцию счетчика введена светодиодная импульсная система мониторинга работы детекторов на базе генератора ГСД-712. Светодиодный генератор ГСД-712 разработан в ЛФВЭ ОИЯИ. На рис. 4 представлены амплитуды сигналов ФЭУ-63, полученные с помощью светодиода и от космических мюонов соответственно. Можно видеть, что распределения амплитуд импульсов от светодиода и от минимально ионизирующей частицы близки по форме. Для каждого

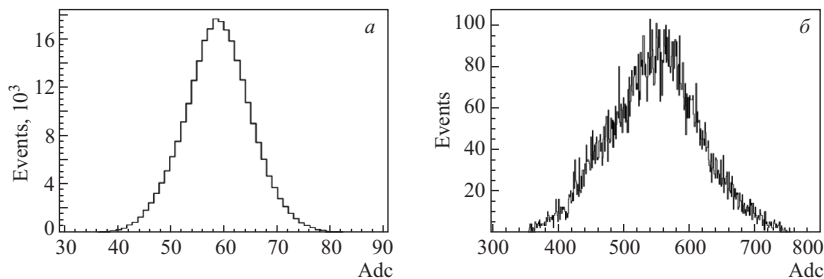


Рис. 4. Амплитуды сигнала ФЭУ-63, полученные с помощью светодиода (а) и от космических мюонов (б) соответственно

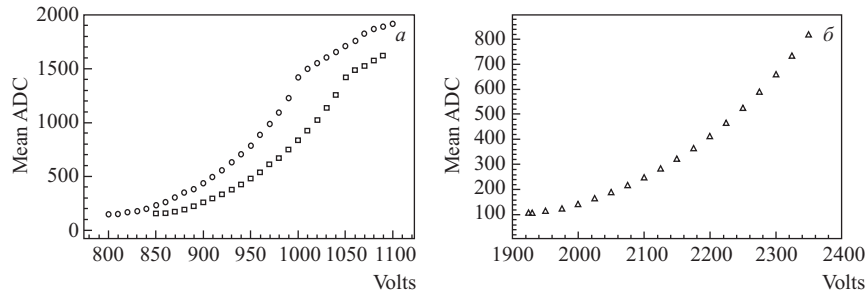


Рис. 5. Результаты, полученные на светодиодах: а) для двух ФЭУ-85; б) для ФЭУ-63

сцинтиллятора был использован индивидуальный светодиод, линза которого была сточена и отполирована для увеличения площади соприкосновения его со сцинтиллятором (рис. 1, в).

С помощью светодиодной системы были измерены вольт-амплитудные зависимости для ФЭУ-85 и ФЭУ-63 (рис. 5). Данные были получены при изменении напряжения с шагом 10 В для ФЭУ-85 и 25 В — для ФЭУ-63. Для каждой точки по напряжению полученные распределения амплитуды фитировались распределением Гаусса для определения наиболее вероятного значения амплитуды. На рис. 5, а видно, что при значениях напряжения выше 1000 В ФЭУ-85 работают в режиме насыщения. Во время набора данных на пучке дейтронов для ФЭУ используются напряжения ниже данного значения.

Разработанная светодиодная система эффективно использовалась для настройки и мониторинга стабильности работы $\Delta E-E$ -детектора во время набора данных.

5. ТЕСТИРОВАНИЕ ДЕТЕКТОРОВ $\Delta E-E$ НА КОСМИЧЕСКИХ МЮОНАХ

При тестировании на космических лучах $\Delta E-E$ -детектор был расположен вертикально. Снизу от него был установлен дополнительный детектор со сцинтиллятором цилиндрической формы, диаметр и высота которого составляли 100 и 20 мм соответственно. Для съема информации с данного сцинтиллятора был использован ФЭУ-85. Блок-схема установки для тестирования представлена на рис. 6.

Сформированные сигналы с двух ФЭУ-85 (один из которых является стартом для ВЦП) заведены на одну схему совпадений, сигнал с выхода которой поступает на вход триггерного модуля LT320D. Сигналы с ФЭУ-63 и дополнительного детектора также были заведены на вход схемы совпадений, сигнал с выхода которой поступал на второй триггерный вход модуля LT320D. Модуль LT320D позволяет управлять мажоритарной схемой совпадений в режиме on-line. Данный модуль разработан в ЛФВЭ ОИЯИ. Использование дополнительного детектора позволило полностью избавиться от мюонов, траектория которых проходила через боковую поверхность E -сцинтиллятора.

Амплитуды сигналов с ФЭУ-85, ФЭУ-63 и корреляция этих амплитуд, полученные на космических мюонах, представлены на рис. 7.

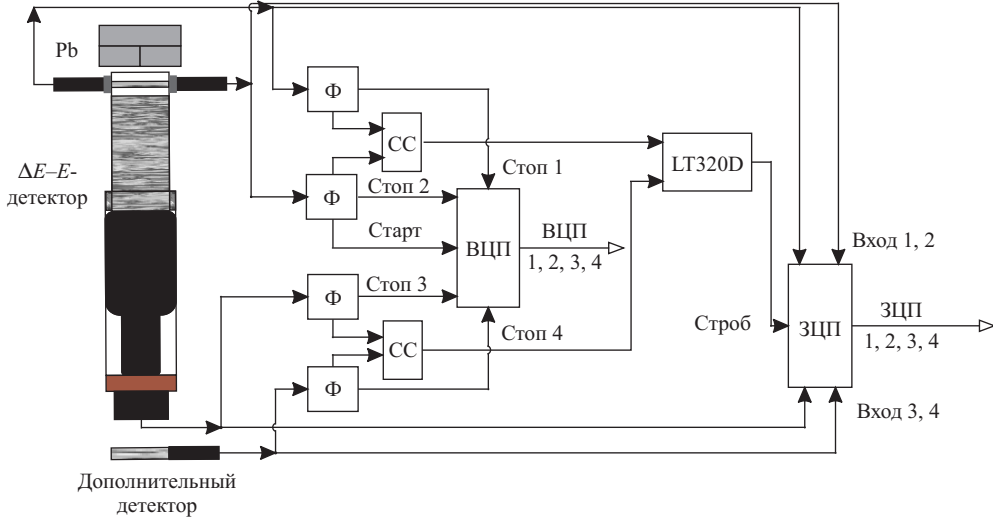


Рис. 6. Блок-схема установки для тестирования ΔE - E -детектора на космических мюонах: Φ — формирователь сигнала 4Ф-115; СС — схема совпадения 2СС-1511; ВЦП — четырехканальный ВЦП-369; ЗЦП — четырехканальный ЗЦП-397; LT320D — триггерный модуль

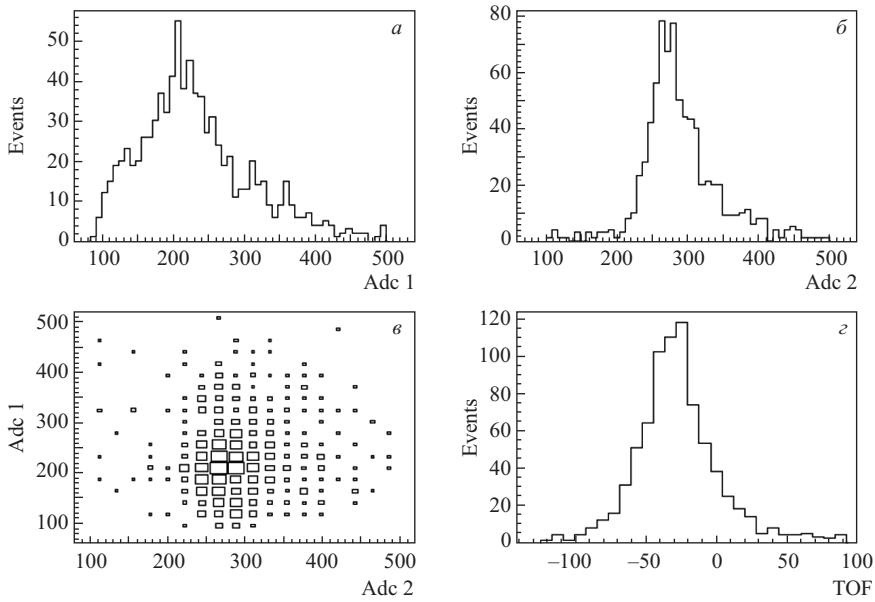


Рис. 7. Результаты тестирования ΔE - E -детектора на космических мюонах: а) амплитуда с одного из ФЭУ-85 ΔE - E -детектора; б) амплитуда с ФЭУ-63; в) корреляция этих двух амплитуд; г) разница времен прихода сигналов для ФЭУ-85 и ФЭУ-63

6. ТЕСТИРОВАНИЕ $\Delta E-E$ -ДЕТЕКТОРОВ НА ПУЧКЕ ДЕЙТРОНОВ

На рис. 8 представлена блок-схема установки для включения $\Delta E-E$ -детектора в экспериментах с пучками дейтронов.

В эксперименте использовали два $\Delta E-E$ -детектора, расположенных с внутренней и с внешней стороны ионопровода нуклотрона. В сеансе использовалась система сбора

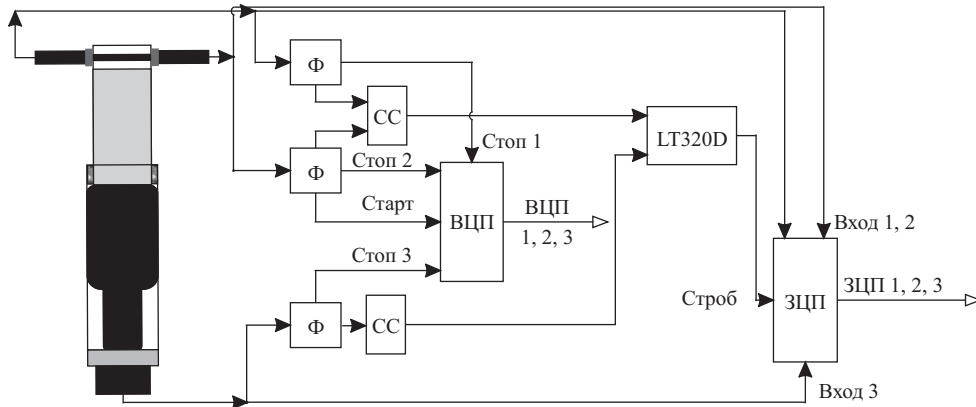


Рис. 8. Схема сбора информации в экспериментах с пучками дейтронов на нуклотроне с $\Delta E-E$ -детектора: Ф — формирователь сигнала 4Ф-115; СС — схема совпадения 2СС-1511; ВЦП — четырехканальный ВЦП-369; ЗЦП — четырехканальный ЗЦП-397; LT320D — триггерный модуль

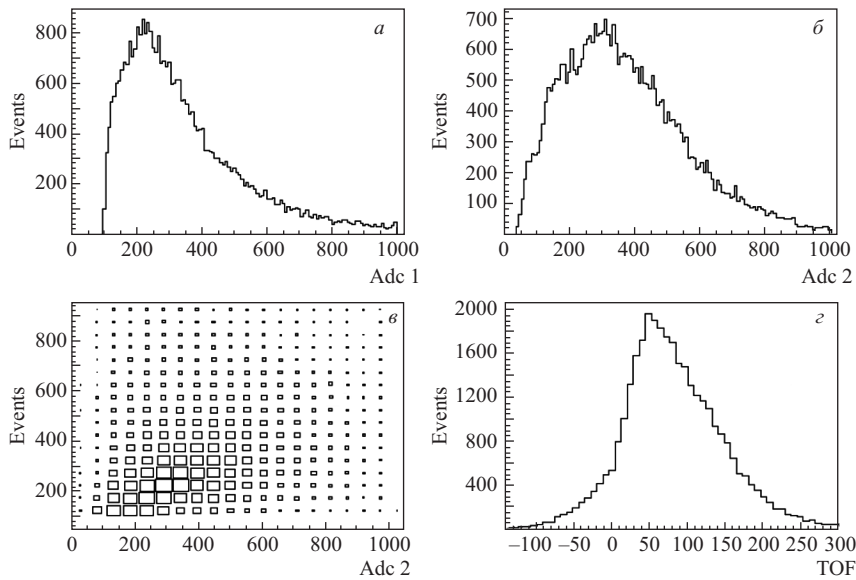


Рис. 9. Результаты тестирования $\Delta E-E$ -детектора на пучке дейтронов: а) амплитуда с одного из ФЭУ-85; б) амплитуда с ФЭУ-63; в) корреляция этих двух амплитуд; г) разница времен между ФЭУ-85 и ФЭУ-63

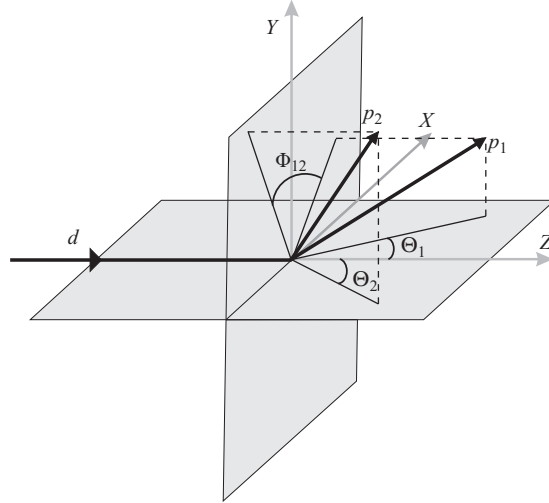


Рис. 10. Определение кинематических переменных для реакции развала дейтрона

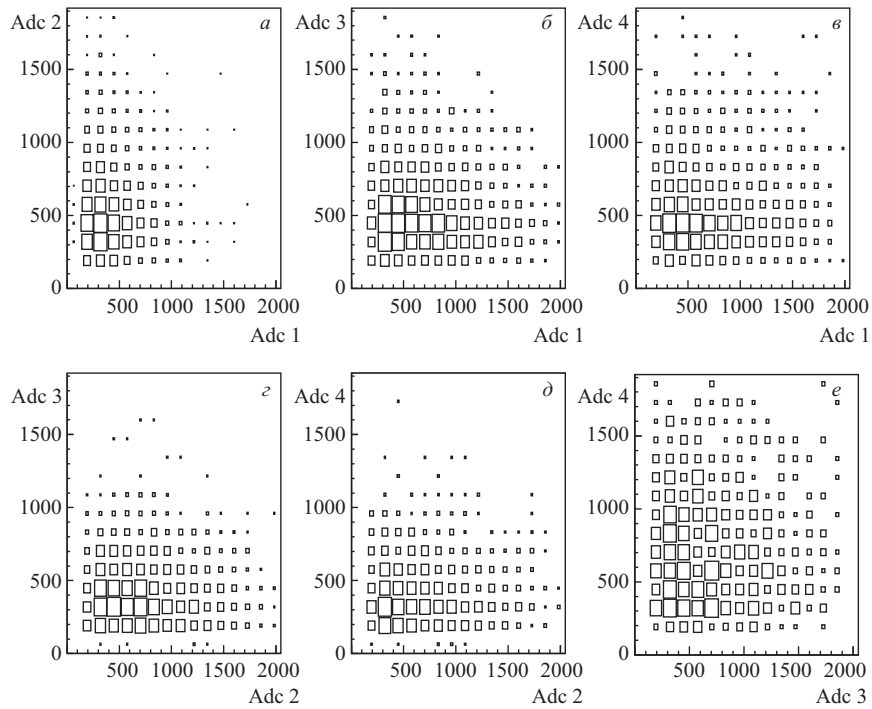


Рис. 11. Корреляция амплитуд E -детекторов для четырех различных кинематических конфигураций ΔE - E -детекторов. а) $\Theta_1 = 19^\circ$, $\Theta_2 = 28^\circ$, $\Phi_{12} = 180^\circ$; б) $\Theta_1 = 19^\circ$, $\Theta_2 = 41^\circ$, $\Phi_{12} = 35^\circ$; в) $\Theta_1 = 19^\circ$, $\Theta_2 = 55^\circ$, $\Phi_{12} = 142^\circ$; г) $\Theta_1 = 28^\circ$, $\Theta_2 = 41^\circ$, $\Phi_{12} = 145^\circ$; д) $\Theta_1 = 28^\circ$, $\Theta_2 = 55^\circ$, $\Phi_{12} = 38^\circ$; е) $\Theta_1 = 41^\circ$, $\Theta_2 = 55^\circ$, $\Phi_{12} = 107^\circ$

данных стандарта КАМАК, основанная на триггерном модуле LT320D [10]. Результаты тестирования $\Delta E-E$ -детекторов, полученные на внутренней мишени на пучке дейтронов с энергией 2 ГэВ, представлены на рис. 9.

В 40-м сеансе нуклотрона при импульсе дейтронов 3,5 ГэВ/с на углеродной мишени был проведен набор данных с использованием четырех $\Delta E-E$ -детекторов, расположенных под различными углами друг к другу.

Определение кинематических переменных для реакции развала дейтрона показано на рис. 10. Плоскость XZ — горизонтальная плоскость, в которой находится налетающий дейтрон. Плоскость XY перпендикулярна импульсу налетающего дейтрона. На данном рисунке не изображена траектория вылетающего нейтрона. Θ_1 и Θ_2 являются полярными углами двух протонов в продольной плоскости XZ , а Φ_{12} — угол между $P_{1\perp}$ и $P_{2\perp}$ в поперечной плоскости.

Набор данных осуществлялся с помощью системы сбора данных на базе VME-стандарта. Результаты по корреляциям амплитуд E -детекторов представлены на рис. 11. Наблюдаемая четкая корреляция всех четырех $\Delta E-E$ -детекторов различных кинематических конфигураций свидетельствует о их надежной работе.

ЗАКЛЮЧЕНИЕ

Разработан и создан $\Delta E-E$ -детектор для изучения реакции развала дейтрона.

В конструкции $\Delta E-E$ -детектора использована система светодиодного мониторинга работы счетчика.

Выполнен ряд тестов $\Delta E-E$ -детекторов как на космических мюонах, так и на пучке дейтронов нуклотрона.

Продемонстрирована надежная работа детектирующей аппаратуры для эксперимента по изучению безмезонного развала дейтрона.

Работа была частично поддержана грантом для молодых ученых ОИЯИ и грантами РФФИ (№ 07-02-00102а и № 10-02-00087а).

СПИСОК ЛИТЕРАТУРЫ

1. *Kistryn St. et al.* Systematic Study of Three-Nucleon Force Effects in the Cross Section of the Deuteron-Proton Breakup at 130 MeV // *Phys. Rev. C.* 2005. V. 72. P. 044006.
2. *Kuros-Zolnierczuk J. et al.* Three-Nucleon Force Effects in Nucleon Induced Deuteron Breakup. 1. Predictions of Current Models // *Phys. Rev. C.* 2002. V. 66. P. 024003.
3. *Цитович А. П.* Ядерная электроника. М.: Энергоатомиздат, 1984.
4. *Абрамов А. И., Казанский Ю. А., Матусевич Е. С.* Основы экспериментальных методов ядерной физики. М.: Энергоатомиздат, 1985.
5. *Басиладзе С. Г., Иванов В. И.* Питание ФЭУ для работы с частотой 100 МГц. Сообщение ОИЯИ 13-9172. Дубна, 1975.
6. *Атанасов И. Х., Русанов И. Р.* Источник высоковольтного напряжения для питания ФЭУ // Письма в ЭЧАЯ. 2000. № 3[100]. С. 62–67.
7. <http://hvsys.dubna.ru>

8. *Pilyar A. V.* Multichannel High Voltage System for the Detection System of LNS-Project // Proc. of XXII Intern. Symp. on Nuclear Electronics and Computing «NEC2009», Varna, Dubna, 2009. Dubna, 2010. P. 186–191.
9. <http://midas.psi.ch>
10. *Isupov A. Yu.* Upgrade of the DAQ Systems for the LHE Polarimeters to Support Vector-Tensor Polarimeter on the Nuclotron Internal Target // Czech. J. Phys. Suppl. 2006. V. C56. P. 385–392.

Получено 22 июня 2010 г.